

01;05

Намагниченность коротких цилиндров жестких сверхпроводников второго рода и карта распределения экранирующего тока в модели Бина

© Н.Д. Кузьмичев, А.А. Федченко

Мордовский государственный университет им. Н.П. Огарева,
430005 Саранск, Россия
email: kuzmichevnd@yandex.ru

(Поступило в Редакцию 29 июля 2011 г.)

Найдена простейшая аналитическая зависимость распределения экранирующего сверхпроводящего тока и рассчитана намагниченность в рамках модели Бина с учетом искривления линий магнитного поля, жестких сверхпроводников 2-го рода, имеющих форму цилиндров конечной длины и дисков (таблеток). На основе найденного распределения рассчитаны полная напряженность магнитного поля и петля гистерезиса намагниченности образцов вышеуказанной формы в разных случаях.

Введение

Магнитные свойства сверхпроводников 2-го рода и, в частности, высокотемпературных сверхпроводников (ВТСП) привлекают исследователей в силу их необычных свойств и их приложений. С точки зрения применений ВТСП в электро- и радиоизмерительной технике важно знать отклик различной геометрической формы сверхпроводников на переменное и постоянное магнитные поля. Для этого необходимо иметь карту распределения экранирующего сверхпроводящего тока (сверхтока) и намагниченность образца. Имеется немало работ по вышеотмеченной тематике как в отечественной, так и зарубежной литературе, например [1–7]. В простейших расчетах намагниченности жестких сверхпроводников 2-го рода, находящихся в критическом состоянии, принималась полная экранировка внешнего поля в центре образца или на его оси, например, цилиндра или пластины. В этом случае сверхпроводник разбивается на замкнутые области прямоугольного сечения с противоположно текущими сверхтоками, экранирующими возрастающие и убывающие внешние магнитные поля. Указанное приближение не в полной мере отражает реальное положение дел в геометрии, отличной от геометрии бесконечно длинного цилиндра или эллипсоида.

Впервые точное аналитическое выражение для распределения сверхтока для бесконечно тонких дисков найдено Михеенко и Кузовлевым в работе [3]. В работах Брандта, например, в [5] численным методом решения интегрального уравнения 2-го рода получены численные распределения сверхтока в цилиндрах любой длины. Для этого интегральное уравнение 1-го рода было сведено к уравнению 2-го рода путем задания явного вида вольт-амперной характеристики сверхпроводника с помощью уравнений электродинамики, описывающих сверхпроводник. Численные зависимости не всегда удобны, и их нахождение для конкретный случаев требует на каждом этапе численных решений интегральных уравнений.

В связи с этим возникает необходимость иметь в своем арсенале аналитическое выражение распределения экранирующего сверхтока в сверхпроводнике, имеющем форму, например, цилиндра любой длины.

1. Постановка задачи и модель расчета

В настоящей работе найдено приближенное аналитическое решение интегрального уравнения, описывающего распределение экранирующего критического тока, и численно смоделирован процесс проникновения магнитного поля в короткий цилиндр жесткого сверхпроводника 2-го рода, находящегося в критическом состоянии в рамках модели Бина [1] с учетом искривления силовых линий магнитного поля. Магнитное поле в такие сверхпроводники проникает в виде потока, образованного нитями Абрикосова, и распространяется фронтом внутрь сверхпроводника, преодолевая силу пиннинга. Силовые линии магнитного поля как внутри такого сверхпроводника, так и вне его искривлены. Изменение магнитного потока внутри указанного сверхпроводника вызывает в области проникновения нитей Абрикосова электрическое поле, которое, в свою очередь, мгновенно создает экранирующий сверхток с критической плотностью J_c . В модели Бина величина J_c не зависит от локальной плотности магнитного потока.

Полное магнитное поле (сумма внешнего аксиально-направленного поля и поля, созданного экранирующим сверхтоком) определяется уравнениями, записанными в цилиндрической системе координат [2,5,8]. В цилиндрической системе координат аксиальная составляющая напряженности полного магнитного поля определяется выражением

$$H_z(r, z) = H_0 + \frac{1}{2\pi} \int_{-b}^{+b} dz' \int_0^R G_z(r, z, r', z') J(r', z') dr'. \quad (1)$$

Здесь

$$G_z(r, z, r', z') = \frac{1}{\sqrt{(r' + r)^2 + (z - z')^2}} \times \left[K(k) + \frac{r'^2 - r^2 - (z - z')^2}{(r' - r)^2 + (z - z')^2} E(k) \right]$$

и

$$k^2 = \frac{4rr'}{(r' + r)^2 + (z - z')^2}.$$

Радиальная составляющая полного поля есть

$$H_r(r, z) = \frac{1}{2\pi} \int_{-b}^{+b} dz' \int_0^R G_r(r, z, r', z') J(r', z') dr', \quad (2)$$

где

$$G_r(r, z, r', z') = \frac{z - z'}{r \sqrt{(r' + r)^2 + (z - z')^2}} \times \left[-K(k) + \frac{r'^2 + r^2 + (z - z')^2}{(r' - r)^2 + (z - z')^2} E(k) \right].$$

Здесь H_0 — напряженность внешнего аксиально-направленного магнитного поля, $J(r, z)$ — экранирующий сверхток, который направлен в силу симметрии вдоль орта φ и не зависит от полярного угла φ , $K(k)$ и $E(k)$ — полные эллиптические интегралы, R — радиус и $d = 2b$ — длина (толщина) цилиндра (диска).

Также в силу симметрии осевая H_z (уравнение (1)) и радиальная H_r (уравнение (2)) составляющие напряженности полного магнитного поля не зависят от угла φ . При $z \rightarrow \infty$ и (или) $r \rightarrow \infty$ составляющие поля стремятся к $H_z \rightarrow H_0$ и $H_r \rightarrow 0$. В области сверхпроводника, где сверхток отсутствует (экранированная область), т.е. $J(r, z) = 0$, величины $H_z = 0$ и $H_r = 0$. Эти условия являются граничными для уравнений (1) и (2).

Найденная приближенная аналитическая зависимость экранирующего сверхтока $J(r, z)$ в модели Бина имеет вид (рис. 1)

$$J(r, z) = \begin{cases} J_c = \text{const}, & \text{при } r, z \in D^+; \\ 0, & \text{при } r, z \in D^- \end{cases} \quad (3)$$

Область D^+ проникновения вихрей в цилиндр от областей D^- , в которой вихри отсутствуют (т.е. область, в которой $J(r, z) = 0$), отделяется поверхностью, заданной уравнением

$$z(r) = b \left\{ 1 - \frac{2}{\pi} \arctg \left[\frac{r}{a} \sqrt{\frac{1 - (a/R)^2}{1 - (r/a)^2}} \right] \right\}^{p(a)}. \quad (4)$$

Здесь a — радиус проникновения поля при $z = 0$ (см. рис. 1). Показатель степени $p(a)$ меняется в пределах: $0 < p(a) < 2$ и зависит также от отношения b/R . Учитывая, что в области D^- выполняются равенства $H_z = 0$

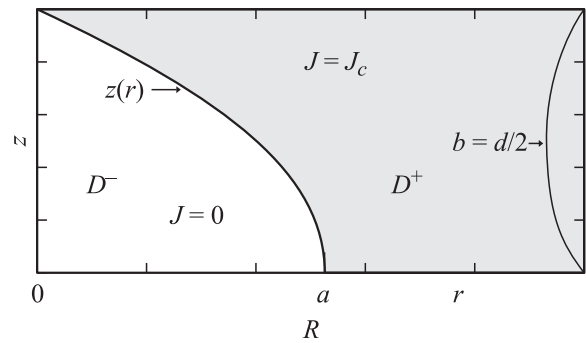


Рис. 1. Сечение четверти сверхпроводящего цилиндра. Закрашенная область D^+ несет ток с критической плотностью J_c и отделена от области D^- поверхностью, заданной уравнением $z(r)$ (4).

и $H_r = 0$, параметр p можно определить из условия минимума целевой функции

$$S_{z,r}(p) = \frac{1}{N} \sum_{r_i, z_j \in D^-} \left| \frac{H_{z,r}(r_i, z_j, p)}{H_0} \right| \leq \varepsilon. \quad (5)$$

Здесь N есть число выбранных точек в области D^- , а величина ε определяет точность найденного решения интегральных уравнений (1) и (2). В нашем случае она составляла менее 0.01 (1%). В случае точных решений $S = 0$.

2. Алгоритм и структура программы

Для того чтобы рассчитать величину напряженности магнитного поля во всем объеме сверхпроводящего образца и в окружающем его пространстве, была разработана специальная программа на языке C# [9]. Она позволяет достаточно быстро и с заданной точностью произвести расчет карты распределения аксиальной (1)

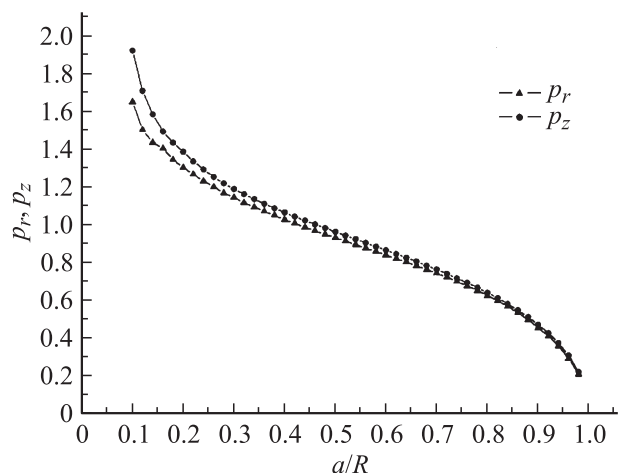


Рис. 2. Зависимость показателя степени p (уравнение (4)) для радиальной и аксиальной составляющих напряженности полного магнитного поля.

и радиальной (2) составляющих напряженности магнитного поля, а также намагниченности образца в целом.

При вычислении использовалась сетка 100×50 (100 шагов вдоль радиуса r и 50 вдоль оси z). Для каждого узла этой сетки рассчитываются соответствующие ей величины H_z и H_r при заданной величине напряженности H_0 внешнего магнитного поля. Основное „ядро“ решения — это вычисление значения двойного интеграла, определяемого уравнениями (1) и (2). При этом важно было подобрать верный численный метод для решения этой части задачи, обладающий устойчивостью. Также важной частью решаемой задачи было вычисление оптимальной величины параметра p , определяемого выражением (5). Для его нахождения при помощи программы была решена отдельная задача оптимизации. Был применен численный метод поиска экстремума функции известный как метод „золотого сечения“ [10]. Он был выбран из-за его достаточно высокой скорости сходимости. В качестве целевой функции при решении данной задачи оптимизации была выбрана сумма отклонений S (см. (5)) для области ($N = 200$ точек), в которой отсутствует магнитное поле (область D^- на рис. 1).

Для каждой составляющей H_z и H_r оптимальное значение параметра p было рассчитано отдельно. Однако можно отметить, что параметры для радиальной p_r и аксиальной p_z составляющих поля (см. рис. 2) несколько отличаются при проникновении поля на большую величину. Данное расхождение обусловлено приближенным характером выражения (4).

3. Результаты расчета магнитного поля и намагниченности

Полученный в итоге двумерный массив представляет собой распределение напряженности магнитного поля в одной четверти фронтального сечения сверхпроводящего образца. Трехмерный график, демонстрирующий это распределение поля H_z для цилиндра с $d/2R = 0.25$, представлен на рис. 3. При этом принималось, что внешнее поле проникло на глубину 0.5 от радиуса образца R . Можно заметить, что внутренняя область образца D^- , не затронутая магнитным полем, образует почти ровную поверхность, контур которой определяется уравнением (4). В то же время в остальной области напряженности поля отлична от нуля, а на границе сверхпроводника наблюдается значительный острый „скачок“ напряженности. При большом удалении от образца значение поля стремится к величине внешнего поля H_0 , как было отмечено в разд. 1.

Аналогичный график для другой составляющей — H_r представлен на рис. 4. Вне объема сверхпроводника напряженность радиальной составляющей близится к нулю, так как суммарный вектор напряженности внешнего магнитного поля направлен вдоль оси вращения образца.

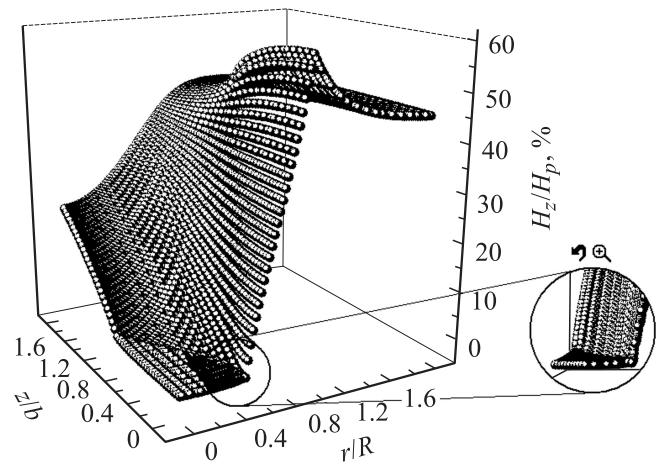


Рис. 3. Трехмерный график карты распределения осевой составляющей напряженности полного магнитного поля $H_z(r, z)$. Значения напряженности указаны в процентах от величины напряженности поля полного проникновения H_p . Внешнее аксиально-направленное поле H_0 составляет $H_0 = 0.45H_p$. Радиус проникновения поля при $z = 0$ составляет $a = 0.5R$.

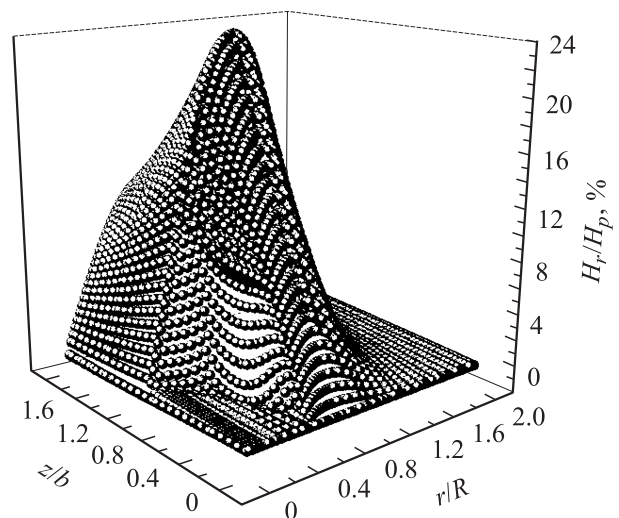


Рис. 4. Трехмерный график карты распределения радиальной составляющей напряженности полного магнитного поля $H_r(r, z)$. Значения напряженности указаны в процентах от величины напряженности поля полного проникновения H_p . Внешнее аксиально-направленное поле H_0 составляет $H_0 = 0.45H_p$. Радиус проникновения поля при $z = 0$ составляет $a = 0.5R$.

На рис. 5 изображены проекции для аксиальной составляющей поля $H_z(r)$ при $z = 0$ (вдоль радиуса образца), $z = 0.6b$ и при $z = b = d/2$ (на поверхности образца). Радиус a проникновения поля при $z = 0$ есть $a = 0.5R$. Аналогичные проекции для радиальной составляющей $H_r(r)$ при $z = 0.2b$, $z = 0.6b$ и для $z = b$ изображены на рис. 6. На рис. 7 приведены графики $H_z(z)$ и $H_r(z)$ при $r = 0.2R$.

Начальная кривая и петля гистерезиса намагниченности приведены на рис. 8. Расчет производился по

найденному распределению экранирующего сверхтока. Намагниченность \mathbf{M} сверхпроводника вычислялась согласно формуле, используемой для определения магнитного момента системы токов [8], учитывая, что экранирующий ток в силу цилиндрической симметрии является азимутальным:

$$\mathbf{M} = \frac{1}{2V} \iiint_{D^+} [\mathbf{r}, \mathbf{J}_c] dV. \quad (6)$$

Здесь V — объем сверхпроводника, D^+ — область внутренней части цилиндра, занятая сверхтоком. Интеграл (6) разбивается на сумму нескольких интегралов с противоположно текущими сверхтоками. На рис. 8 приведены кривые намагниченности для разных величин максимальных полей циклов намагниченности. По оси абсцисс отложена напряженность магнитного поля в

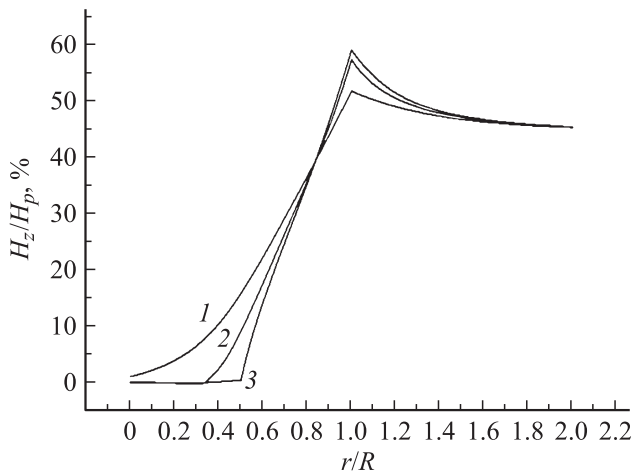


Рис. 5. Аксиальная составляющая полного поля цилиндра $H_z(r)$ в плоскостях $z = b$ (кривая 1), $z = 0.6b$ (кривая 2) и $z = 0$ (кривая 3). Величина поля указана в процентах от H_p . Радиус проникновения поля при $z = 0$ составляет $a = 0.5R$.

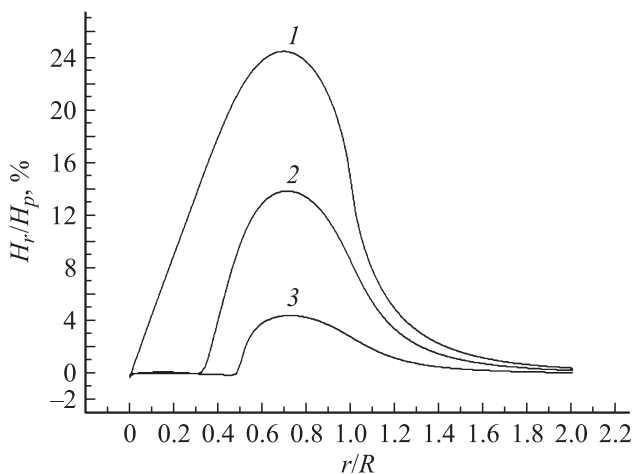


Рис. 6. Радиальная составляющая полного поля цилиндра $H_r(r)$ в плоскостях $z = b$ (кривая 1), $z = 0.6b$ (кривая 2) и $z = 0.2b$ (кривая 3). Величина поля указана в процентах от H_p . Радиус проникновения поля при $z = 0$ составляет $a = 0.5R$.

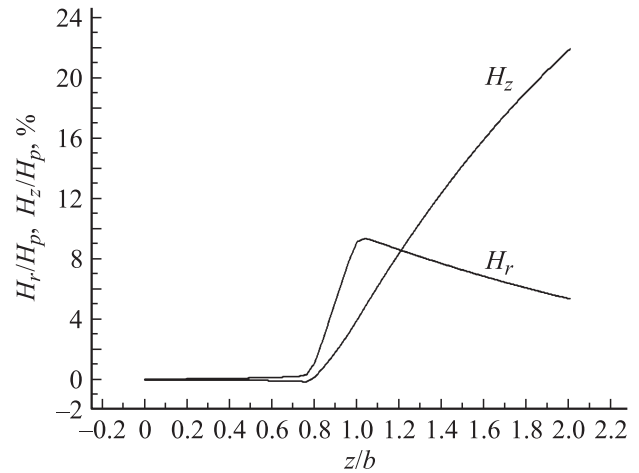


Рис. 7. Аксиальная и радиальная составляющие полного поля цилиндра на поверхности цилиндра $r = 0.2R$. Величина поля указана в процентах от H_p . Радиус проникновения поля при $z = 0$ составляет $a = 0.5R$.

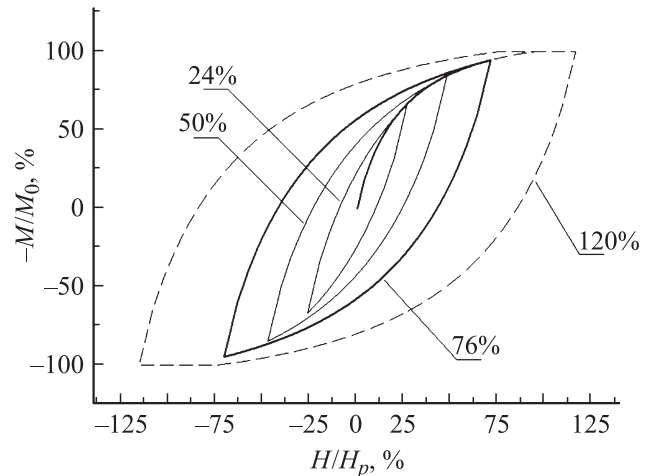


Рис. 8. Начальная кривая намагниченности и петли гистерезиса намагниченности для разных значений максимальных полей цикла намагничивания H_{max} . Значение поля указано в процентах от H_p , а величина намагниченности указана в единицах намагниченности насыщения.

единицах поля полного проникновения H_p , т.е. напряженности внешнего магнитного поля, при котором весь объем сверхпроводника будет занят экранирующим сверхтоком одного направления. По оси ординат отложена намагниченность цилиндра в единицах намагниченности насыщения M_0 (иначе в единицах $M(H_p)$).

4. Заключение

Основным результатом работы является найденная простая аналитическая зависимость распределения экранирующего сверхтока в рамках модели Бина с учетом искривления силовых линий магнитного поля, жестких сверхпроводников 2-го рода, имеющих форму цилиндров

конечной длины и дисков (таблеток). Данная зависимость включает единственный параметр p (показатель степени), который легко определяется нахождением минимума целевой функции. Целевая функция строится на экранированной области цилиндра и является по своей сути отклонением точного значения поля от приближенного. Расчеты радиальной и аксиальной составляющих поля показали правильность выбора методики. Разработанную методику можно применять и в случае полевой зависимости критической плотности тока. В этом случае интегральные уравнения (1) и (2) будут нелинейными. В качестве начального приближения можно использовать полученные в работе выражения. Результаты работы можно использовать, например, при разработке магнитометра слабых магнитных полей [11] на основе ВТСП-поликристаллов. Как было показано в работах [12,13], экранирующий сверхток в таких системах в слабых магнитных полях не зависит от величины поля.

Список литературы

- [1] *Bean C.P.* // Phys. Rev. Lett. 1962. Vol. 8. P. 250–251.
- [2] *Frankel D.* // J. Appl. Phys. 1979. Vol. 50. P. 5402–5407.
- [3] *Mikheenko P.N., Kuzovlev Yu.E.* // Physica C. 1993. Vol. 204. P. 229–236.
- [4] *Clem J.R., Sanchez Alvaro* // Phys. Rev. B. 1994. Vol. 50. P. 9355–9362.
- [5] *Brandt E.H.* // Phys. Rev. B. 1998. Vol. 58. P. 6506–6522.
- [6] *Кузьмичев Н.Д.* // ЖТФ. 1994. Т. 64. Вып. 12. С. 63–74.
- [7] *Кузьмичев Н.Д., Славкин В.В.* // ФТТ. 2007. Т. 49. Вып. 9. С. 1549–1553.
- [8] *Ландау Л.Д., Лифшиц Е.М.* Электродинамика сплошных сред. М.: Наука, 1982. 624 с.
- [9] *Шилдт Г.* Полный справочник по С#. М.: Издательский дом „Вильямс“, 2004. 752 с.
- [10] *Турчак Л.И., Плотников П.В.* Основы численных методов. М.: Физматлит, 2005. 304 с.
- [11] *Головашкин А.И., Кузьмичев Н.Д., Славкин В.В.* // ЖТФ. 2006. Т. 18. Вып. 3. С. 373–377.
- [12] *Кузьмичев Н.Д.* // Письма в ЖЭТФ. 2001. Т. 74. Вып. 5. С. 291–295.
- [13] *Кузьмичев Н.Д.* // ФТТ. 2001. Т. 43. Вып. 11. С. 1934–1938.